



PONTE SULLO STRETTO DI MESSINA



PROGETTO DEFINITIVO

EUROLINK S.C.p.A.

IMPREGILO S.p.A. (MANDATARIA)
 SOCIETÀ ITALIANA PER CONDOTTE D'ACQUA S.p.A. (MANDANTE)
 COOPERATIVA MURATORI E CEMENTISTI - C.M.C. DI RAVENNA SOC. COOP. A.R.L. (MANDANTE)
 SACYR S.A.U. (MANDANTE)
 ISHIKAWAJIMA - HARIMA HEAVY INDUSTRIES CO. LTD (MANDANTE)
 A.C.I. S.C.P.A. - CONSORZIO STABILE (MANDANTE)

 <p>IL PROGETTISTA Dott. Ing. F. Colla Ordine Ingegneri Milano n° 20355 Dott. Ing. E. Pagani Ordine Ingegneri Milano n° 15408</p> 	<p>IL CONTRAENTE GENERALE</p> <p>Project Manager (Ing. P.P. Marcheselli)</p>	<p>STRETTO DI MESSINA Direttore Generale e RUP Validazione (Ing. G. Fiammenghi)</p>	<p>STRETTO DI MESSINA Amministratore Delegato (Dott. P. Ciucci)</p>
--	--	---	--

<i>Unità Funzionale</i>	COLLEGAMENTI SICILIA	SS0741_F0
<i>Tipo di sistema</i>	INFRASTRUTTURE STRADALI - OPERE CIVILI	
<i>Raggruppamento di opere/attività</i>	SVINCOLO CURCURACI	
<i>Opera - tratto d'opera - parte d'opera</i>	FIUMARA - CURCURACI	
<i>Titolo del documento</i>	RELAZIONE TECNICO - DESCRITTIVA DELL'OPERA	

CODICE	C	G	0	7	0	0	P	R	G	D	S	S	C	C	5	0	0	0	0	0	0	0	2	F0
--------	---	---	---	---	---	---	---	---	---	---	---	---	---	---	---	---	---	---	---	---	---	---	---	----

REV	DATA	DESCRIZIONE	REDATTO	VERIFICATO	APPROVATO
F0	20/06/2011	EMISSIONE FINALE	A. CONTARDI	G. SCIUTO	F. COLLA

		Ponte sullo Stretto di Messina PROGETTO DEFINITIVO		
RELAZIONE TECNICO-DESCRITTIVA DELL'OPERA		<i>Codice documento</i> SS0741_F0.doc	<i>Rev</i> F0	<i>Data</i> 20/06/2011

INDICE

INDICE	3
PREMESSA.....	5
1 RIFERIMENTI NORMATIVI	5
2 RIFERIMENTI BIBLIOGRAFICI	6
3 CARATTERISTICHE MATERIALI.....	7
3.1 Calcestruzzi (Secondo UNI 11104 - 2004).....	7
3.2 Acciaio per armature (Secondo NTC 2008 – D.M. 14/01/2008)	9
4 DESCRIZIONE DELLA STRUTTURA.....	10
4.1 CARATTERISTICHE GEOMETRICHE E UBICAZIONE DELLA STRUTTURA.....	10
4.2 CARATTERIZZAZIONE GEOTECNICA DEL LUOGO.....	11
4.2.1 Descrizione delle litologie	11
4.2.2 Indagini previste	11
4.2.3 Caratterizzazione geotecnica.....	12
4.3 CARATTERIZZAZIONE DELLA SISMICITA' DEL LUOGO	16
4.4 CRITERI GENERALI DI PROGETTAZIONE	17
4.4.1 Verifiche di resistenza.....	17
4.4.1.1 Verifiche di resistenza agli stati limite ultimi.....	17
4.4.2 Verifiche agli stati limite di esercizio.....	18
4.4.2.1 Definizione degli stati limite di fessurazione	18
4.4.2.2 Condizioni ambientali	18
4.4.2.3 Sensibilità delle armature alla corrosione	19
4.4.2.4 Scelta degli stati limite di fessurazione.....	19
4.4.2.5 Verifiche allo stato limite di fessurazione.....	19
4.4.2.6 Verifiche delle tensioni in esercizio.....	20
4.4.3 Azioni sismiche.....	20
4.4.3.1 Vita nominale	21
4.4.3.2 Classe d'uso	21
4.4.3.3 Periodo di riferimento per l'azione sismica	22
4.4.3.4 Parametri di progetto.....	22
4.4.3.5 Classificazione sismica del terreno	24
4.4.3.6 Spettro di risposta elastico in accelerazione.....	24

		Ponte sullo Stretto di Messina PROGETTO DEFINITIVO		
RELAZIONE TECNICO-DESCRITTIVA DELL'OPERA	<i>Codice documento</i> SS0741_F0.doc	<i>Rev</i> F0	<i>Data</i> 20/06/2011	

4.4.3.7	Spettro di risposta elastico in accelerazione delle componenti orizzontali	25
4.4.3.8	Spettro di risposta elastico in accelerazione delle componenti verticali	27
4.4.3.9	Spettro di progetto	28
5	FASI COSTRUTTIVE.....	29
6	ELABORATI DI RIFERIMENTO.....	30

		Ponte sullo Stretto di Messina PROGETTO DEFINITIVO		
RELAZIONE TECNICO DESCRITTIVA DELL'OPERA		<i>Codice documento</i> SS0741_F0.doc	<i>Rev</i> F0	<i>Data</i> 20/06/2011

PREMESSA

La presente relazione riguarda il tombamento della fiumara Curcuraci nel tratto in prossimità dello Svincolo denominato Curcuraci facente parte dei collegamenti lato Sicilia del ponte sullo stretto di Messina; tale opera prevede lo scatolamento della fiumara in oggetto per un tratto di sviluppo totale di circa 220 m sottopassando la rotonda 1 dello svincolo ed un tratto della rampa 5, andando a sostituire il letto attuale modificandone solo in piccola parte il tragitto; tale opera permette di mantenere la fiumara nella posizione naturale e di evitare quindi un cambiamento di percorso brusco.

1 RIFERIMENTI NORMATIVI

I calcoli delle strutture sono stati eseguiti in base alle seguenti disposizioni:

- Legge 5/11/1971 n° 1086: "Norme per le discipline delle opere di conglomerato cementizio armato normale e precompresso ed a struttura metallica".
- Legge 2 febbraio 1974, n. 64 "Provvedimenti per le costruzioni con particolari prescrizioni per le zone sismiche".
- D.M. del 14/01/2008 - "Norme Tecniche per le Costruzioni 2008"
- Istruzioni per l'applicazione delle norme tecniche per le costruzioni di cui al DM 14/01/2008 – Circolare 2 febbraio 2009 n. 617.

		Ponte sullo Stretto di Messina PROGETTO DEFINITIVO		
RELAZIONE TECNICO DESCRITTIVA DELL'OPERA		<i>Codice documento</i> SS0741_F0.doc	<i>Rev</i> F0	<i>Data</i> 20/06/2011

2 RIFERIMENTI BIBLIOGRAFICI

- [1] SEAOC Blue Book “Conceptual Framework for Performance-Based Seismic Design”, Appendix B (2000).
- [2] Gruppo di Lavoro (2004). Redazione della mappa di pericolosità sismica prevista dall’Ordinanza PCM 3274 del 20 marzo 2003. Rapporto Conclusivo per il Dipartimento della Protezione Civile, INGV, Milano-Roma, aprile 2004, 65 pp. + 5 appendici).
- [3] Priestley M.J.N., Seible F. e Calvi G.M. “Seismic Design and Retrofit of Bridges”, J. Wiley & Sons, Inc. (1996).
- [4] Migliacci A. e Mola F., “Progetto agli stati limite delle strutture in c.a.”. Parte prima e seconda, Ed. Masson. 1996.
- [5] FEMA 440 – “Improvement of Nonlinear Static Seismic Analysis Procedures”, prepared by ATC, ATC-55 Project, Redwood City CA, June 2005.
- [6] FEMA 440 – “Improvement of Nonlinear Static Seismic Analysis Procedures”, prepared by ATC, ATC-55 Project, Redwood City CA, June 2005.
- [7] M. W. O’Neill and L. C. Reese “Drilled shafts: construction procedures and design methods”, prepared for U.S. Department of Transportation Federal Highway Administration; printed by ADSC: The International Association of Foundation Drilling, pub. n. ADSC-TL 4, August 1999.
- [8] CALTRANS “Seismic Design Criteria” Version 1.1; California department of transportation, USA, July 1999.
- [9] ATC-32 “Improved Seismic Design Criteria for California Bridges: Provisional Recommendations” Version 1.1; California, USA, June 1996.
- [10] ATC-49 “Recommended LRFD guidelines for the seismic design of highway bridges. Part I: Specifications. Part II: Commentary and Appendices”, ATC/MCEER Joint Venture, USA, June 2003.
- [11] Roesset J.M. [1969] “Fundamentals of soil amplification”, Conference on Seismic Design for Nuclear Power Plants, MIT, Ed. by Robert J. Hansen, Vol 1, pp. 183-244.
- [12] Mylonakis G. [2001] “Simplified model for seismic pile bending at soil layer interfaces”, The Japanese Geotechnical Society, Vol. 41, No. 4(20010815), pp. 47-58.

		Ponte sullo Stretto di Messina PROGETTO DEFINITIVO	
RELAZIONE TECNICO DESCRITTIVA DELL'OPERA	<i>Codice documento</i> SS0741_F0.doc	<i>Rev</i> F0	<i>Data</i> 20/06/2011

3 CARATTERISTICHE MATERIALI

3.1 Calcestruzzi (Secondo UNI 11104 - 2004)

Per sottofondazioni

classe di resistenza

C12/15

classe di esposizione

XC0

Per pali gettati in opera

classe di resistenza

C25/30

modulo elastico

$E_c = 31.476 \text{ N/mm}^2$

resistenza caratteristica a compressione cilindrica

$f_{ck} = 25,00 \text{ N/mm}^2$

resistenza media a compressione cilindrica

$f_{cm} = 33,00 \text{ N/mm}^2$

resistenza di calcolo a compressione

$f_{cd} = 14,17 \text{ N/mm}^2$

resistenza a trazione (valore medio)

$f_{ctm} = 2,56 \text{ N/mm}^2$

resistenza caratteristica a trazione

$f_{ctk} = 1,79 \text{ N/mm}^2$

resistenza caratteristica a trazione per flessione

$f_{ctk} = 2,15 \text{ N/mm}^2$

tensione a SLE – combinazione rara

$\sigma_c = 14,94 \text{ N/mm}^2$

tensione a SLE – combinazione quasi permanente

$\sigma_c = 11,20 \text{ N/mm}^2$

copriferro

$C = 60 \text{ mm}$

classe di esposizione

XC2

classe di consistenza slump

S4-S5

max dimensione aggregati

$D_{max} = 32 \text{ mm}$

rapporto A/C massimo

0,50

Fondazioni

classe di resistenza

C25/30

modulo elastico

$E_c = 31.476 \text{ N/mm}^2$

resistenza caratteristica a compressione cilindrica

$f_{ck} = 25,00 \text{ N/mm}^2$

resistenza media a compressione cilindrica

$f_{cm} = 33,00 \text{ N/mm}^2$

resistenza di calcolo a compressione

$f_{cd} = 14,17 \text{ N/mm}^2$

resistenza a trazione (valore medio)

$f_{ctm} = 2,56 \text{ N/mm}^2$

resistenza caratteristica a trazione

$f_{ctk} = 1,79 \text{ N/mm}^2$

		Ponte sullo Stretto di Messina PROGETTO DEFINITIVO		
RELAZIONE TECNICO DESCRITTIVA DELL'OPERA		<i>Codice documento</i> SS0741_F0.doc	<i>Rev</i> F0	<i>Data</i> 20/06/2011

resistenza caratteristica a trazione per flessione	$f_{ctk} =$	2,15	N/mm ²
tensione a SLE – combinazione rara	$\sigma_C =$	14,94	N/mm ²
tensione a SLE – combinazione quasi permanente	$\sigma_C =$	11,20	N/mm ²
copriferro	$C =$	40	mm
classe di esposizione		XC2	
classe di consistenza slump		S4	
max dimensione aggregati	$D_{max} =$	32	mm
rapporto A/C massimo		0,50	

Elevazioni, muri, solette

classe di resistenza		C32/40	
modulo elastico	$E_c =$	33.346	N/mm ²
resistenza caratteristica a compressione cilindrica	$f_{ck} =$	32,00	N/mm ²
resistenza media a compressione cilindrica	$f_{cm} =$	40,00	N/mm ²
resistenza di calcolo a compressione	$f_{cd} =$	18,13	N/mm ²
resistenza a trazione (valore medio)	$f_{ctm} =$	3,02	N/mm ²
resistenza caratteristica a trazione	$f_{ctk} =$	2,11	N/mm ²
resistenza caratteristica a trazione per flessione	$f_{ctk} =$	2,65	N/mm ²
tensione a SLE – combinazione rara	$\sigma_C =$	19,92	N/mm ²
tensione a SLE – combinazione quasi permanente	$\sigma_C =$	14,94	N/mm ²
copriferro	$C =$	40	mm
classe di esposizione	XC4	XS1	XF2
classe di consistenza slump		S4	
max dimensione aggregati	$D_{max} =$	32	mm
rapporto A/C massimo		0,50	

Per il calcestruzzo ordinario armato si assume il seguente peso per unità di volume:

$$\rho'_{cls} = \boxed{25} \text{ kN/m}^3$$

		Ponte sullo Stretto di Messina PROGETTO DEFINITIVO		
RELAZIONE TECNICO DESCRITTIVA DELL'OPERA		<i>Codice documento</i> SS0741_F0.doc	<i>Rev</i> F0	<i>Data</i> 20/06/2011

3.2 Acciaio per armature (Secondo NTC 2008 – D.M. 14/01/2008)

	B450C		
tensione caratteristica di snervamento	$f_{yk} =$	450	N/mm ²
tensione caratteristica di rottura	$f_{tk} =$	540	N/mm ²
resistenza di calcolo a trazione	$f_{yd} =$	391,30	N/mm ²
modulo elastico	$E_s =$	206.000	N/mm ²
deformazione caratteristica al carico massimo	ϵ_{uk}	7,50	%
deformazione di progetto	ϵ_{ud}	6,75	%
coeff. resistenza a instabilità delle membrature	$\gamma_m =$	1,10	

		Ponte sullo Stretto di Messina PROGETTO DEFINITIVO		
RELAZIONE TECNICO DESCRITTIVA DELL'OPERA		<i>Codice documento</i> SS0741_F0.doc	<i>Rev</i> F0	<i>Data</i> 20/06/2011

4 DESCRIZIONE DELLA STRUTTURA

4.1 CARATTERISTICHE GEOMETRICHE E UBICAZIONE DELLA STRUTTURA

La presente relazione di calcolo riguarda il tombamento della fiumara Curcuraci nel tratto in prossimità dello Svincolo denominato Curcuraci facente parte dei collegamenti lato Sicilia del ponte sullo stretto di Messina; tale opera prevede lo scatolamento della fiumara in oggetto per un tratto di sviluppo totale di circa 220 m sottopassando la rotonda 1 dello svincolo ed un tratto della rampa 5, andando a sostituire il letto attuale modificandone solo in piccola parte il tragitto; tale opera permette di mantenere la fiumara nella posizione naturale e di evitare quindi un cambiamento di percorso brusco.

L'opera in oggetto è costituita da una struttura scatolare basata su 2 file di pali di diametro 1.000 mm posti a passo 2.400 mm in corrispondenza dei bordi esterni dello scatolare stesso; alla quota di testa dei pali è prevista una soletta di base in calcestruzzo armato di spessore costante di 100 cm per una larghezza totale costante di 14,80 m. La quota di imposta della soletta di base è variabile lungo lo sviluppo e prevede anche degli sbalzi periodici per esigenze idrauliche.

Dalla soletta di base, coassiali con i pali di fondazione, nascono i piedritti anch'essi in calcestruzzo armato di spessore pari a 100 cm di altezza tale da garantire un franco interno variabile da 3,00 m a 4,10 m.

Sopra ai piedritti è posizionata la soletta di copertura gettata in opera per uno spessore costante di 100 cm, sopra alla quale giace per gran parte dello sviluppo il rilevato stradale della rotonda 1 e della rampa 5.

Per la realizzazione del tombamento si prevede di demolire i muri di contenimento esistenti della fiumara attuale per l'esecuzione dei pali di fondazione e delle elevazioni di nuova realizzazione.

Si prevede infine un muro in calcestruzzo armato dello spessore di 100 cm per un tratto limitato con altezza media 3,00 m per il contenimento del rilevato stradale necessario per la realizzazione della rampa 5 dello svincolo Curcuraci.

		Ponte sullo Stretto di Messina PROGETTO DEFINITIVO		
RELAZIONE TECNICO DESCRITTIVA DELL'OPERA		<i>Codice documento</i> SS0741_F0.doc	<i>Rev</i> F0	<i>Data</i> 20/06/2011

4.2 CARATTERIZZAZIONE GEOTECNICA DEL LUOGO

4.2.1 Descrizione delle litologie

Le litologie presenti sono Sabbie e Ghiaie di Messina e Depositi alluvionali.

La litologia prevalente è costituita dalla formazione delle Sabbie e Ghiaie di Messina.

I materiali in oggetto sono granulometricamente descritti come ghiaie e ciottoli da sub arrotondati ad appiattiti con matrice di sabbie grossolane.

Si rilevano strati di ghiaie cementate, come si evidenzia nei rilievi effettuati nelle aree di imbocco della galleria stradale Faro Superiore e Balena; in questi rilievi la ghiaia si presenta più o meno debolmente cementata e molto addensata. Lo scheletro si presenta costituito da ghiaie e ciottoli eterometrici arrotondati ed appiattiti.

I Depositi Alluvionali sono costituiti da ghiaie poligeniche ed eterometriche, giallastre o brune a clasti prevalentemente arrotondati di diametro da 2 a 30 cm, clasti sostenuti o a supporto di matrice argilloso-sabbiosa, alternate a rari sottili livelli di sabbie argillose rossastre; sabbie ciottolose a supporto di matrice argilloso-terrosa. L'età dei depositi alluvionali terrazzati è Pleistocene medio-superiore.

I depositi alluvionali recenti sono costituiti da limi e sabbie con livelli di ghiaie a supporto di matrice terroso-argillosa, talora terrazzati, localizzati in aree più elevate rispetto agli alvei fluviali attuali. La componente ruditica è rappresentata da ciottoli poligenici, prevalentemente cristallini, da spigolosi a subarrotondati di diametro tra 1 e 10 cm, mediamente di 4-5 cm. L'età dei depositi alluvionali recenti è l'Olocene.

La falda non risulta interferente con le opere.

4.2.2 Indagini previste

Data l'esiguità delle prove localmente presenti (S417, S418, SPPS03), si è scelto di tenere conto anche dei sondaggi della tratta che va dal Km 5+400 al Km 5+900 circa.

I sondaggi di riferimento per la presente tratta sono SPPS02 e SPPS03 (campagna del 2002), S415, S416, S417 e S418 (campagna del 2010).

La categoria di suolo sismico, secondo N.T.C: 2008, risulta pari a **B** (sondaggio S417, S418).

		Ponte sullo Stretto di Messina PROGETTO DEFINITIVO		
RELAZIONE TECNICO DESCRITTIVA DELL'OPERA		<i>Codice documento</i> SS0741_F0.doc	<i>Rev</i> F0	<i>Data</i> 20/06/2011

Le prove localmente utilizzate nella caratterizzazione sono:

Sabbie e ghiaie di Messina

- Prove di laboratorio per la determinazione delle caratteristiche fisiche (sondaggio S03)
- Prove granulometriche (sondaggi S417, S03)
- Prove SPT (sondaggi S417, S418)
- 1 prova Down hole (sondaggio S418)
- 5 prove pressiometriche (sondaggi S417, S418)
- 4 prove Le Franc (sondaggi S417 e S418)

Depositi alluvionali

- Prove per la determinazione delle caratteristiche fisiche (sondaggi S417)
- Prove SPT (sondaggi S417, S418)
- 1 prova Down hole (sondaggio S418)

4.2.3 Caratterizzazione geotecnica

Per i criteri e per gli aspetti generali di caratterizzazione si rimanda a quanto riportato nella relazione Elab. CG0800PRBDSSBC8G00000001A. Per la definizione delle categorie di suolo si rimanda al medesimo elaborato ed alla relazione sismica di riferimento.

Stratigrafia media	prof. (m)	γ (kN/m³)	ϕ' (°)	c' (Kpa)	E'^* (MPa)	K (m/s)
Depositi alluvionali recenti	0 – 6	17-20	38-40	0	30 ÷ 70 / 40 ÷ 100 (0-10m)	10 ⁻⁴
Sabbie e Ghiaie di Messina	>6	18-19	38-40	0	$E' = (15-36) z^{0.62}$	10 ⁻⁴ -10 ⁻⁶
Falda	ASSENTE					

* E' = modulo di Young "operativo"; * = si considerano valori nel range per fronti di scavo sostenuti, opere di sostegno tirantate o puntonate; valori al minimo del range per fondazioni dirette, fondazioni su pali e rilevati.

		Ponte sullo Stretto di Messina PROGETTO DEFINITIVO		
RELAZIONE TECNICO DESCRITTIVA DELL'OPERA	<i>Codice documento</i> SS0741_F0.doc	<i>Rev</i> F0	<i>Data</i> 20/06/2011	

Sabbie e Ghiaie di Messina

Con riferimento al fuso medio (19 prove granulometriche) si ha che: $d_{50}=0.8\text{mm}$, $d_{60}=2\text{mm}$ e $d_{10}=0.015\text{mm}$. le percentuali medie di ghiaia, sabbia e limo sono rispettivamente di 38%, 47%, 12%.

- **Dr:** I valori di N_{spt} sono stati corretti con il fattore correttivo $C_{\text{sg}}=0.75$ corrispondente al $d_{50}=0.8\text{mm}$;
- **e_o :** a partire dal d_{50} stimato si ottiene di $e_{\text{max}}-e_{\text{min}}$ pari a 0.305, non dissimile dai valori reperibili in letteratura ($0.17 < e_{\text{max}}-e_{\text{min}} < 0.29$). Stimando per e_{max} un valore pari a 0.8 a partire dai valori di Dr è stato possibile determinare i valori di e_o in sito;
- γ_d : in base a tali valori di e_o e da γ_s si può stimare $\gamma_d = 18-19\text{KN/m}^3$;
- **K_0 :** si considera la relazione di Mesri (1989) per tenere conto degli effetti di "aging".

I primi 15 m sembrerebbero maggiormente addensati soprattutto nella porzione sabbio-ghiaiosa.

Per i parametri di resistenza si ha:

z(m)	Dr(%) Sabbie e ghiaie	ϕ'_p (pff=0-272KPa) (°)	ϕ'_{cv} (°)	K_0
5-15	60-80	41-42	33-35	0.4-0.45
>15	50-60	39-40	33-35	0.45

Come parametri operativi per l'angolo d'attrito si utilizzerà $\phi' = 38-40$.

Per i parametri di deformabilità si ha localmente a disposizione la prova sismica S418 in cui si evidenzia una buona correlazione fra le velocità misurate e quelle calcolate con le correlazioni da prove SPT.

L'espressione ottenuta in base alle correlazioni dalle prove SPT della tratta per il modulo G_0 :

$$G_0 = 45 z^{0.62}$$

		Ponte sullo Stretto di Messina PROGETTO DEFINITIVO		
RELAZIONE TECNICO DESCRITTIVA DELL'OPERA		<i>Codice documento</i> SS0741_F0.doc	<i>Rev</i> F0	<i>Data</i> 20/06/2011

$$E_0 = 108 z^{0.62}$$

$$E' = (15-36) z^{0.62}$$

Le prove pressiometriche (nei sondaggi S417 e S418), che forniscono valori del ramo di carico, mostrano i valori più elevati (300-600MPa) tra 10m e 25m.

Depositi alluvionali

Per i parametri fisici l'andamento del fuso evidenzia che le caratteristiche granulometriche dei materiali in esame sono tipiche di materiali sia di materiali a grana grossa (ghiaie 39%), sia di materiali intermedi (sabbie 45%). Il contenuto di fino è mediamente del 14%

Con riferimento al fuso medio:

- Il valore di D_{50} è pari a 0.8mm
- Il valore di D_{60} è pari a 2 mm
- Il valore di D_{10} è pari a 0.01 mm

Il peso di volume dei grani medio γ_s è risultato pari a circa 26.5 kN/m³.

Non si hanno a disposizione i valori di γ_{dmax} e γ_{dmin} .

Per quanto concerne stato iniziale e parametri di resistenza si ha:

- **Dr:** I valori di N_{spt} sono stati corretti con il fattore correttivo $C_{sg}=0.75$ corrispondente al $d_{50}=0.8mm$,
- **e_o :** a partire dal d_{50} stimato si ottiene di $e_{max}-e_{min}$ pari a 0.305 stimando per e_{max} un valore pari a 0.7 a partire dai valori di Dr è stato possibile determinare i valori di e_o in sito.
- **γ_d :** si ottiene un pari a 17-20 KN/m³.
- **K_0 :** si considera la relazione di Jaky.

z(m)	Dr(%) Sabbie e ghiaie	ϕ'_p (pff=0-272KPa) (°)	ϕ'_{cv} (°)	K_0
0-10	50-80	40-42	33-35	0.4-0.35

		Ponte sullo Stretto di Messina PROGETTO DEFINITIVO	
RELAZIONE TECNICO DESCRITTIVA DELL'OPERA	<i>Codice documento</i> SS0741_F0.doc	<i>Rev</i> F0	<i>Data</i> 20/06/2011

Come parametri operativi per l'angolo d'attrito si utilizzerà $\phi' = 38-40$.

Per i parametri di deformabilità si ha localmente a disposizione la prova sismica S418.

L' espressione ottenuta in base alle correlazioni dalle prove SPT ed alla sismica della tratta per il modulo G_0 :

$G_0 = 80 \div 150 \text{ MPa (0-10m)}$

$E_0 = 200 \div 300 \text{ MPa}$

$E = 30 \div 70 / 40 \div 100 \text{ MPa (0-10m)}$

quest' ultimo range è relativo rispettivamente ad $1/10 \div 1/5 E_0$ ed ad $1/3 E_0$ corrispondenti rispettivamente a medie- grandi deformazioni ed a piccole deformazioni.

		Ponte sullo Stretto di Messina PROGETTO DEFINITIVO		
RELAZIONE TECNICO DESCRITTIVA DELL'OPERA		<i>Codice documento</i> SS0741_F0.doc	<i>Rev</i> F0	<i>Data</i> 20/06/2011

4.3 CARATTERIZZAZIONE DELLA SISMICITA' DEL LUOGO

Le azioni di progetto si ricavano, ai sensi delle NTC, dalle accelerazioni a_g e dalle relative forme spettrali.

Le forme spettrali previste dalle NTC sono definite, su sito di riferimento rigido orizzontale, in funzione dei tre parametri:

- a_g accelerazione orizzontale massima del terreno;
- F_0 valore massimo del fattore di amplificazione dello spettro in accelerazione orizzontale;
- T_C^* periodo di inizio del tratto a velocità costante dello spettro in accelerazione orizzontale.

Per ciascun nodo del reticolo di riferimento e per ciascuno dei periodi di ritorno TR considerati dalla pericolosità sismica, i tre parametri si ricavano riferendosi ai valori corrispondenti al 50esimo percentile ed attribuendo ad:

a_g il valore previsto dalla pericolosità sismica;

F_0 e T_C^* i valori ottenuti imponendo che le forme spettrali in accelerazione, velocità e spostamento previste dalle NTC scartino al minimo dalle corrispondenti forme spettrali previste dalla pericolosità sismica.

Le forme spettrali previste dalle NTC sono caratterizzate da prescelte probabilità di superamento e vite di riferimento. A tal fine occorre fissare:

- la vita di riferimento VR della costruzione;
- le probabilità di superamento nella vita di riferimento PVR associate agli stati limite considerati, per individuare infine, a partire dai dati di pericolosità sismica disponibili, le corrispondenti azioni sismiche.

A tal fine è conveniente utilizzare, come parametro caratterizzante la pericolosità sismica, il

		Ponte sullo Stretto di Messina PROGETTO DEFINITIVO		
RELAZIONE TECNICO DESCRITTIVA DELL'OPERA		<i>Codice documento</i> SS0741_F0.doc	<i>Rev</i> F0	<i>Data</i> 20/06/2011

periodo di ritorno dell'azione sismica T_R , espresso in anni. Fissata la vita di riferimento V_R , i due parametri T_R e P_{VR} sono immediatamente esprimibili, l'uno in funzione dell'altro, mediante l'espressione:

$$T_R = -\frac{V_R}{\ln(1 - P_{VR})} = -\frac{200}{\ln(1 - 0.1)} = 1.898 \text{ anni}$$

I valori dei parametri a_g , F_0 e T_C^* relativi alla pericolosità sismica su reticolo di riferimento nell'intervallo di riferimento sono forniti nelle tabelle riportate nell'ALLEGATO B delle NTC.

I punti del reticolo di riferimento sono definiti in termini di Latitudine e Longitudine ed ordinati a Latitudine e Longitudine crescenti, facendo variare prima la Longitudine e poi la Latitudine. L'accelerazione al sito a_g è espressa in $g/10$; F_0 è adimensionale, T_C^* è espresso in secondi.

La caratterizzazione della sismicità del luogo è sviluppata nello specifico all'interno del capitolo 4.4.3 "Azioni sismiche" della presente relazione.

4.4 CRITERI GENERALI DI PROGETTAZIONE

4.4.1 Verifiche di resistenza

Le verifiche delle sezioni più sollecitate sono state condotte seguendo le prescrizioni del D.M.14/01/08 e seguendo le indicazioni della norma UNI EN 1992-2005.

Più specificatamente la verifica di resistenza delle sezioni nei vari elementi strutturali, viene condotta tenendo conto della verifica agli stati limite ultimi, e delle verifiche nei riguardi della fessurazione e delle tensioni di esercizio.

4.4.1.1 Verifiche di resistenza agli stati limite ultimi

Si è verificato che il valore di progetto degli effetti delle azioni, ovvero delle sollecitazioni flettenti M_d sia minore dei corrispondenti momenti resistenti M_r delle sezioni di progetto.

La verifica di resistenza delle sezioni nei vari elementi strutturali, viene condotta tenendo conto delle condizioni più gravose che si individuano dall'involuppo delle sollecitazioni agenti nelle diverse combinazioni di carico.

Le combinazioni e i coefficienti moltiplicativi delle singole azioni vengono definiti in base a quanto indicato nel D.M. 14 gennaio 2008.

		Ponte sullo Stretto di Messina PROGETTO DEFINITIVO		
RELAZIONE TECNICO DESCRITTIVA DELL'OPERA		<i>Codice documento</i> SS0741_F0.doc	<i>Rev</i> F0	<i>Data</i> 20/06/2011

Per quanto riguarda le verifiche a taglio ultimo, si è fatto riferimento al paragrafo 4.1.2.1.3 “Resistenza nei confronti di sollecitazioni taglianti” del D.M. 14 gennaio 2008.

4.4.2 Verifiche agli stati limite di esercizio

4.4.2.1 Definizione degli stati limite di fessurazione

In ordine di severità crescente si distinguono i seguenti stati limite:

- a) stato limite di decompressione nel quale, per la combinazione di azioni prescelta, la tensione normale è ovunque di compressione ed al più uguale a 0 ;
- b) stato limite di formazione delle fessure, nel quale, per la combinazione di azioni prescelta, la tensione normale di trazione nella fibra più sollecitata è:

$$\sigma_t = \frac{f_{ctm}}{1,2}$$

- c) stato limite di apertura delle fessure nel quale, per la combinazione di azioni prescelta, il valore limite di apertura della fessura calcolato al livello considerato è pari ad uno dei seguenti valori nominali:

$$w_1 = 0,2 \text{ mm}$$

$$w_2 = 0,3 \text{ mm}$$

$$w_3 = 0,4 \text{ mm}$$

Lo stato limite di fessurazione deve essere fissato in funzione delle condizioni ambientali e della sensibilità delle armature alla corrosione.

4.4.2.2 Condizioni ambientali

Le condizioni ambientali, ai fini della protezione contro la corrosione delle armature metalliche, possono essere suddivise in ordinarie, aggressive e molto aggressive in relazione a quanto indicato nella tabella seguente:

CONDIZIONI AMBIENTALI	CLASSE DI ESPOSIZIONE
Ordinarie	X0, XC1, XC2, XC3, XF1
Aggressive	XC4, XD1, XS1, XA1, XA2, XF2, XF3
Molto aggressive	XD2, XD3, XS2, XS3, XA3, XF4

Nel caso in esame si considera l'opera sottoposta a condizioni aggressive.

		Ponte sullo Stretto di Messina PROGETTO DEFINITIVO		
RELAZIONE TECNICO DESCRITTIVA DELL'OPERA		<i>Codice documento</i> SS0741_F0.doc	<i>Rev</i> F0	<i>Data</i> 20/06/2011

4.4.2.3 Sensibilità delle armature alla corrosione

Le armature si distinguono in due gruppi:

- armature sensibili;
- armature poco sensibili.

Appartengono al primo gruppo gli acciai da precompresso. Appartengono al secondo gruppo gli acciai ordinari. Per gli acciai zincati e per quelli inossidabili si può tener conto della loro minor sensibilità alla corrosione.

4.4.2.4 Scelta degli stati limite di fessurazione

Nella tabella sottostante sono indicati i criteri di scelta dello stato limite di fessurazione con riferimento alle esigenze sopra riportate.

Gruppi di esigenze	Condizioni ambientali	Combinazione di azioni	Armatura			
			Sensibile		Poco sensibile	
			Stato limite	w_d	Stato limite	w_d
a	Ordinarie	frequente	ap. fessure	$\leq w_2$	ap. fessure	$\leq w_3$
		quasi permanente	ap. fessure	$\leq w_1$	ap. fessure	$\leq w_2$
b	Aggressive	frequente	ap. fessure	$\leq w_1$	ap. fessure	$\leq w_2$
		quasi permanente	decompressione	-	ap. fessure	$\leq w_1$
c	Molto aggressive	frequente	formazione fessure	-	ap. fessure	$\leq w_1$
		quasi permanente	decompressione	-	ap. fessure	$\leq w_1$

4.4.2.5 Verifiche allo stato limite di fessurazione

Stato limite di decompressione e di formazione delle fessure

Le tensioni sono calcolate in base alle caratteristiche geometriche e meccaniche della sezione omogeneizzata non fessurata.

Stato limite di apertura delle fessure

Il valore caratteristico di calcolo di apertura delle fessure (w_d) non deve superare i valori nominali w_1 , w_2 , w_3 secondo quanto riportato nella Tabella sopra riportata.

Il valore caratteristico di calcolo è dato da:

$$w_d = 1,7 \cdot w_m$$

dove w_m rappresenta l'ampiezza media delle fessure.

L'ampiezza media delle fessure w_m è calcolata come prodotto della deformazione media delle

		Ponte sullo Stretto di Messina PROGETTO DEFINITIVO		
RELAZIONE TECNICO DESCRITTIVA DELL'OPERA		<i>Codice documento</i> SS0741_F0.doc	<i>Rev</i> F0	<i>Data</i> 20/06/2011

barre d'armatura ε_{sm} per la distanza media tra le fessure Δ_{sm} :

$$w_m = \varepsilon_{sm} \cdot \Delta_{sm}$$

Per il calcolo di ε_{sm} e Δ_{sm} vanno utilizzati criteri consolidati riportati nella letteratura tecnica. ε_{sm} può essere calcolato tenendo conto dell'effetto del "tension stiffening" nel rispetto della limitazione:

$$\varepsilon_{sm} \geq 0.6 \cdot \frac{\sigma_s}{E_s}$$

con σ_s tensione nell'acciaio dell'armatura tesa (per sezione fessurata) nelle condizioni di carico considerate ed E_s è il modulo elastico dell'acciaio.

4.4.2.6 Verifiche delle tensioni in esercizio

Valutate le azioni interne nelle varie parti della struttura, dovute alle combinazioni caratteristica e quasi permanente delle azioni, si calcolano le massime tensioni sia nel calcestruzzo sia nelle armature; si deve verificare che tali tensioni siano inferiori ai massimi valori consentiti di seguito riportati.

Tensione massima di compressione del calcestruzzo nelle condizioni di esercizio

La massima tensione di compressione del calcestruzzo σ_c , deve rispettare la limitazione seguente:

$$\sigma_c < 0.6 \cdot f_{ck} \text{ per la combinazione caratteristica (rara);}$$

$$\sigma_c < 0.45 \cdot f_{ck} \text{ per la combinazione caratteristica quasi permanente.}$$

Nel caso di elementi piani (solette, pareti, ...) gettati in opera con calcestruzzi ordinari e con spessori di calcestruzzo minori di 50 mm i valori limite sopra scritti vanno ridotti del 20%.

Tensione massima dell'acciaio in condizioni di esercizio

Per l'acciaio la tensione massima, σ_s , per effetto delle azioni dovute alla combinazione caratteristica deve rispettare la limitazione seguente:

$$\sigma_s < 0.8 \cdot f_{yk}$$

4.4.3 Azioni sismiche

Le azioni sismiche di progetto, in base alle quali valutare il rispetto dei diversi stati limite considerati, si definiscono a partire dalla "pericolosità sismica di base" del sito di costruzione, che

		Ponte sullo Stretto di Messina PROGETTO DEFINITIVO		
RELAZIONE TECNICO DESCRITTIVA DELL'OPERA		<i>Codice documento</i> SS0741_F0.doc	<i>Rev</i> F0	<i>Data</i> 20/06/2011

costituisce l'elemento di conoscenza primario per la determinazione delle azioni sismiche.

La pericolosità sismica è definita in termini di accelerazione orizzontale massima attesa a_g in condizioni di campo libero su sito di riferimento rigido con superficie topografica orizzontale di categoria A, nonché di ordinate dello spettro di risposta elastico in accelerazione ad essa corrispondente $S_e(T)$, con riferimento a prefissate probabilità di eccedenza P_{VR} nel periodo di riferimento V_R .

Nel presente progetto è stata verificata la combinazione di carico sismica con riferimento allo stato limite ultimo di salvaguardia della vita (SLV): a seguito del terremoto la struttura subisce rotture e crolli dei componenti non strutturali ed impiantistici e significativi danni dei componenti strutturali cui si associa una perdita significativa di rigidità nei confronti delle azioni orizzontali; mentre conserva invece una parte della esistenza e rigidità per azioni verticali e un margine di sicurezza nei confronti del collasso per azioni sismiche orizzontali.

4.4.3.1 Vita nominale

La vita nominale di un'opera strutturale è intesa come il numero di anni nel quale la struttura, purché soggetta alla manutenzione ordinaria, deve poter essere usata per lo scopo al quale è destinata. Nel caso in oggetto, l'opera ricade all'interno del tipo di costruzione: "Grandi opere ordinarie, ponti, opere infrastrutturali e dighe di grandi dimensioni o di importanza strategica" (paragrafo 2.4 delle 'Nuove Norme tecniche per le costruzioni – D.M. 14 gennaio 2008').

La vita nominale si assume pertanto pari a **$V_N = 100$ anni**.

4.4.3.2 Classe d'uso

In presenza di azioni sismiche, con riferimento alle conseguenze di una interruzione di operatività o di un'eventuale collasso, le costruzioni sono suddivise in classi d'uso. Nel caso in oggetto si fa riferimento alla Classe IV: costruzioni con funzioni pubbliche o strategiche importante, anche con riferimento alla gestione della protezione civile in caso di calamità..... Ponti e reti ferroviarie di importanza critica per il mantenimento delle vie di comunicazione, particolarmente dopo un evento sismico."

Il coefficiente d'uso si assume pertanto pari a **$c_U = 2,0$ anni**.

		Ponte sullo Stretto di Messina PROGETTO DEFINITIVO		
RELAZIONE TECNICO DESCRITTIVA DELL'OPERA		<i>Codice documento</i> SS0741_F0.doc	<i>Rev</i> F0	<i>Data</i> 20/06/2011

4.4.3.3 Periodo di riferimento per l'azione sismica

Le azioni sismiche su ciascuna costruzione vengono valutate in relazione ad un periodo di riferimento V_R che si ricava, per ciascun tipo di costruzione, moltiplicandone la vita nominale V_N per il coefficiente d'uso C_U . Tale coefficiente è funzione della classe d'uso.

$$V_R = V_N \times C_U = 100 \text{ anni} \times 2 = 200 \text{ anni}$$

Le probabilità di superamento P_{VR} nel periodo di riferimento V_R , cui riferirsi per individuare l'azione sismica agente, sono pari al 10% nel caso dello stato limite SLV.

4.4.3.4 Parametri di progetto

Le azioni di progetto si ricavano, ai sensi delle NTC, dalle accelerazioni a_g e dalle relative forme spettrali.

Le forme spettrali previste dalle NTC sono definite, su sito di riferimento rigido orizzontale, in funzione dei tre parametri:

- a_g accelerazione orizzontale massima del terreno;
- F_0 valore massimo del fattore di amplificazione dello spettro in accelerazione orizzontale;
- T_C^* periodo di inizio del tratto a velocità costante dello spettro in accelerazione orizzontale.

Per ciascun nodo del reticolo di riferimento e per ciascuno dei periodi di ritorno T_R considerati dalla pericolosità sismica, i tre parametri si ricavano riferendosi ai valori corrispondenti al 50esimo percentile ed attribuendo ad:

a_g il valore previsto dalla pericolosità sismica;

F_0 e T_C^* i valori ottenuti imponendo che le forme spettrali in accelerazione, velocità e spostamento previste dalle NTC scartino al minimo dalle corrispondenti forme spettrali previste dalla pericolosità sismica.

Le forme spettrali previste dalle NTC sono caratterizzate da prescelte probabilità di superamento e vite di riferimento. A tal fine occorre fissare:

		Ponte sullo Stretto di Messina PROGETTO DEFINITIVO		
RELAZIONE TECNICO DESCRITTIVA DELL'OPERA		<i>Codice documento</i> SS0741_F0.doc	<i>Rev</i> F0	<i>Data</i> 20/06/2011

- la vita di riferimento VR della costruzione;
- le probabilità di superamento nella vita di riferimento PVR associate agli stati limite considerati, per individuare infine, a partire dai dati di pericolosità sismica disponibili, le corrispondenti azioni sismiche.

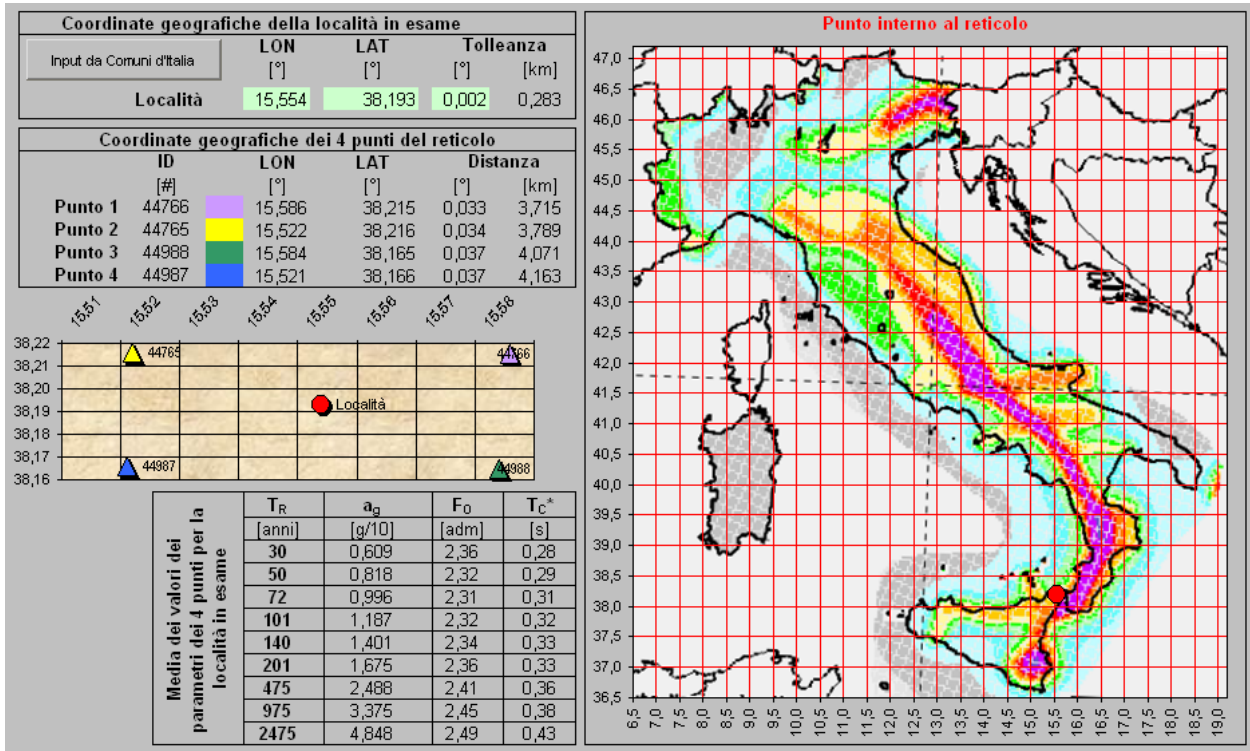
A tal fine è conveniente utilizzare, come parametro caratterizzante la pericolosità sismica, il periodo di ritorno dell'azione sismica TR, espresso in anni. Fissata la vita di riferimento VR, i due parametri TR e PVR sono immediatamente esprimibili, l'uno in funzione dell'altro, mediante l'espressione:

$$T_R = -\frac{V_R}{\ln(1 - P_{VR})} = -\frac{200}{\ln(1 - 0.1)} = 1.898 \text{ anni}$$

I valori dei parametri a_g , F_0 e T_C^* relativi alla pericolosità sismica su reticolo di riferimento nell'intervallo di riferimento sono forniti nelle tabelle riportate nell'ALLEGATO B delle NTC.

I punti del reticolo di riferimento sono definiti in termini di Latitudine e Longitudine ed ordinati a Latitudine e Longitudine crescenti, facendo variare prima la Longitudine e poi la Latitudine. L'accelerazione al sito a_g è espressa in g/10; F_0 è adimensionale, T_C^* è espresso in secondi.

Nel seguito si riporta una tabella riassuntiva dei parametri che caratterizzano il Comune di Messina:



4.4.3.5 Classificazione sismica del terreno

Ai fini della definizione dell'azione sismica di progetto, in accordo con le NTC, si fa riferimento all'approccio semplificato che si basa sulla individuazione di categorie di sottosuolo di riferimento. Gli studi eseguiti, con particolare riferimento alle prove Cross Hole dei sondaggi denominati S417 e S418 già indicati al paragrafo 4.2.1 della presente relazione, denotano che il terreno è classificabile come **Classe B** che include rocce tenere e depositi di terreni a grana grossa addensati o terreni a grana fina molto consistenti.

4.4.3.6 Spettro di risposta elastico in accelerazione

Lo spettro di risposta elastico in accelerazione è espresso da una forma spettrale (spettro normalizzato) riferita ad uno smorzamento convenzionale del 5%, moltiplicata per il valore della accelerazione orizzontale massima a_g su sito di riferimento rigido orizzontale. Sia la forma spettrale che il valore di a_g variano al variare della probabilità di superamento nel periodo di riferimento P_{VR} .

		Ponte sullo Stretto di Messina PROGETTO DEFINITIVO		
RELAZIONE TECNICO DESCRITTIVA DELL'OPERA		<i>Codice documento</i> SS0741_F0.doc	<i>Rev</i> F0	<i>Data</i> 20/06/2011

4.4.3.7 Spettro di risposta elastico in accelerazione delle componenti orizzontali

Lo spettro di risposta elastico della componente orizzontale è definito dalle espressioni seguenti:

$$0 \leq T \leq T_B \quad S_e(T) = a_g \cdot S \cdot \eta \cdot F_0 \left[\frac{T}{T_B} + \frac{1}{\eta \cdot F_0} \cdot \left(1 - \frac{T}{T_B} \right) \right]$$

$$T_B \leq T \leq T_C \quad S_e(T) = a_g \cdot S \cdot \eta \cdot F_0$$

$$T_C \leq T \leq T_D \quad S_e(T) = a_g \cdot S \cdot \eta \cdot F_0 \cdot \frac{T_C}{T}$$

$$T_D \leq T \quad S_e(T) = a_g \cdot S \cdot \eta \cdot F_0 \cdot \left(\frac{T_C \cdot T_D}{T^2} \right)$$

nelle quali T ed S_e sono, rispettivamente, periodo di vibrazione ed accelerazione spettrale orizzontale.

Inoltre:

- S: è il coefficiente che tiene conto della categoria di sottosuolo e delle condizioni topografiche mediante la relazione seguente: $S = S_s \cdot S_T$
- essendo S_s il coefficiente di amplificazione stratigrafica e S_T il coefficiente di amplificazione topografica riportati nelle tabelle seguenti;

CATEGORIA SOTTOSUOLO	S_s	C_c
A	1,00	1,00
B	$1,00 \leq 1,40 - 0,40 \cdot F_0 \cdot \frac{a_g}{g} \leq 1,20$	$1,10 \cdot (T^*_{C})^{-0,20}$
C	$1,00 \leq 1,70 - 0,60 \cdot F_0 \cdot \frac{a_g}{g} \leq 1,50$	$1,05 \cdot (T^*_{C})^{-0,33}$
D	$0,90 \leq 2,40 - 1,50 \cdot F_0 \cdot \frac{a_g}{g} \leq 1,80$	$1,25 \cdot (T^*_{C})^{-0,50}$
E	$1,00 \leq 2,00 - 1,10 \cdot F_0 \cdot \frac{a_g}{g} \leq 1,60$	$1,15 \cdot (T^*_{C})^{-0,40}$

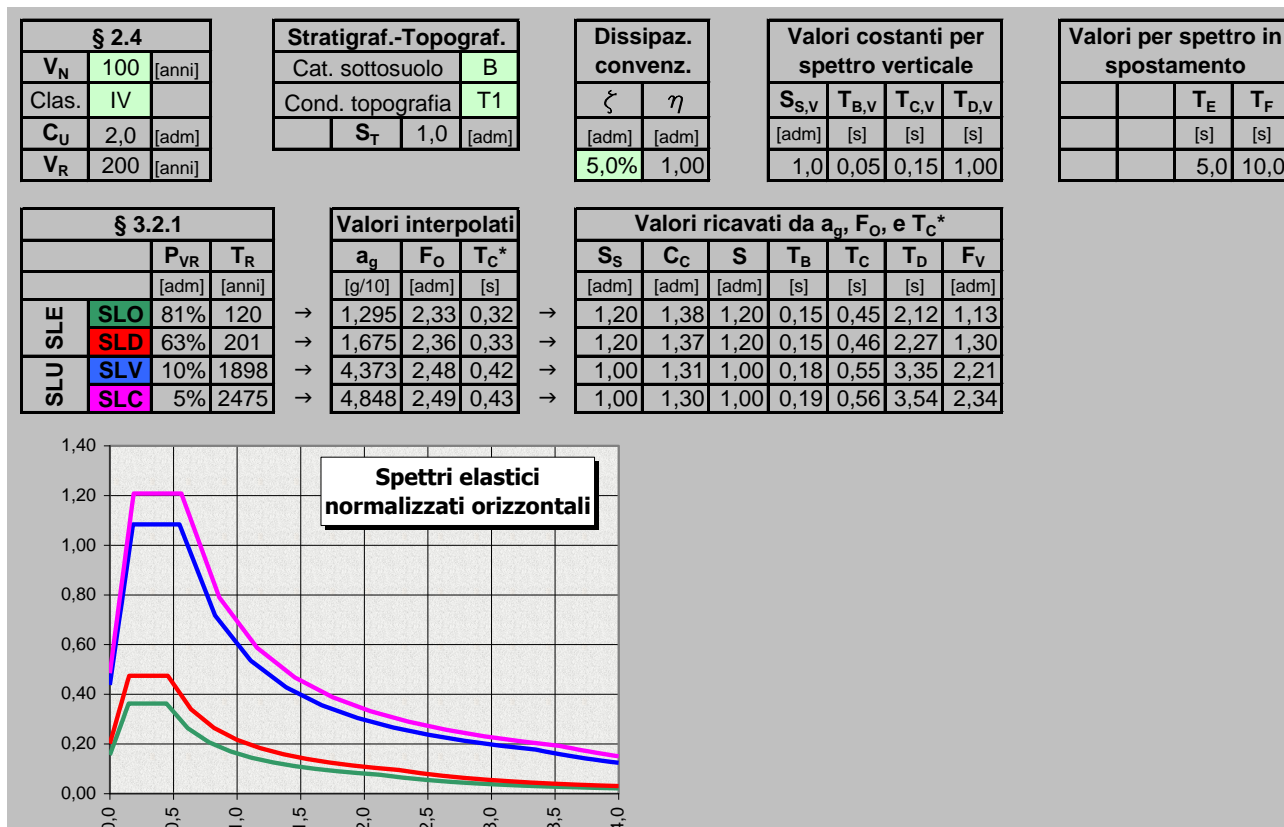
		Ponte sullo Stretto di Messina PROGETTO DEFINITIVO	
RELAZIONE TECNICO DESCRITTIVA DELL'OPERA	<i>Codice documento</i> SS0741_F0.doc	<i>Rev</i> F0	<i>Data</i> 20/06/2011

CATEGORIA TOPOGRAFICA	Ubicazione dell'opera o dell'intervento	S _T
T1	-	1,00
T2	In corrispondenza della sommità del pendio	1,2
T3	In corrispondenza della cresta del rilievo	1,2
T4	In corrispondenza della cresta del rilievo	1,2

- η : è il fattore che altera lo spettro elastico per coefficienti di smorzamento viscosi convenzionali \times diversi dal 5%, mediante la relazione: $\eta = \sqrt{\frac{10}{5 + \xi}} \geq 0,55$
- dove ξ (espresso in percentuale) è valutato sulla base di materiali, tipologia strutturale e terreno di fondazione;
- F_0 : è il fattore che quantifica l'amplificazione spettrale massima, su sito di riferimento rigido orizzontale, ed ha valore minimo pari a 2,2;
- T_C : è il periodo corrispondente all'inizio del tratto a velocità costante dello spettro, dato da: $T_C = C_C \cdot T^*_C$; dove C_C è un coefficiente funzione della categoria di sottosuolo;
- T_B : è il periodo corrispondente all'inizio del tratto dello spettro ad accelerazione costante; $T_B = T_C / 3$
- T_D : è il periodo corrispondente all'inizio del tratto a spostamento costante dello spettro, espresso in secondi mediante la relazione: $T_D = 4,0 \cdot \frac{a_g}{g} + 1,6$

Nel seguito si riportano gli spettri elastici orizzontali relativi al sito ed al terreno.

		Ponte sullo Stretto di Messina PROGETTO DEFINITIVO	
		RELAZIONE TECNICO DESCRITTIVA DELL'OPERA	Codice documento SS0741_F0.doc



4.4.3.8 Spettro di risposta elastico in accelerazione delle componenti verticali

Lo spettro di risposta elastico in accelerazione della componente verticale è definito dalle espressioni seguenti:

$$0 \leq T \leq T_B \quad S_{ve}(T) = a_g \cdot S \cdot \eta \cdot F_V \left[\frac{T}{T_B} + \frac{1}{\eta \cdot F_O} \cdot \left(1 - \frac{T}{T_B} \right) \right]$$

$$T_B \leq T \leq T_C \quad S_e(T) = a_g \cdot S \cdot \eta \cdot F_V$$

$$T_C \leq T \leq T_D \quad S_e(T) = a_g \cdot S \cdot \eta \cdot F_V \cdot \frac{T_C}{T}$$

$$T_D \leq T \quad S_e(T) = a_g \cdot S \cdot \eta \cdot F_V \cdot \left(\frac{T_C \cdot T_D}{T^2} \right)$$

nelle quali T e S_{ve} sono, rispettivamente, periodo di vibrazione ed accelerazione spettrale verticale e F_V è il fattore che quantifica l'amplificazione spettrale massima, in termini di accelerazione

		Ponte sullo Stretto di Messina PROGETTO DEFINITIVO		
RELAZIONE TECNICO DESCRITTIVA DELL'OPERA		<i>Codice documento</i> SS0741_F0.doc	<i>Rev</i> F0	<i>Data</i> 20/06/2011

orizzontale massima del terreno ag su sito di riferimento rigido orizzontale, mediante la relazione:

$$F_V = 1,35 \cdot F_O \cdot \left(\frac{a_g}{g} \right)^{0,5}$$

I valori di a_g , F_O , S_T , S , η sono quelli già definiti per le componenti orizzontali; i valori di S_S , T_B , T_C e T_D , sono invece quelli riportati nella tabella seguente.

CATEGORIA SOTTOSUOLO	S_S	T_B	T_C	T_D
A, B, C, D, E	1,00	0,05 s	0,15 s	1,0 s

4.4.3.9 Spettro di progetto

Per gli stati limite di esercizio lo spettro di progetto $S_d(T)$ da utilizzare, sia per le componenti orizzontali che per la componente verticale, è lo spettro elastico corrispondente, riferito alla probabilità di superamento nel periodo di riferimento PVR considerata.

Per le verifiche agli stati limite ultimi lo spettro di progetto $S_d(T)$ da utilizzare, sia per le componenti orizzontali, sia per la componente verticale, è lo spettro elastico corrispondente riferito alla probabilità di superamento nel periodo di riferimento P_{VR} considerata con le ordinate ridotte sostituendo η con $1/q$, dove q è il fattore di struttura, nelle formule precedentemente riportate e comunque: $S_d(T) \geq 0,2 \cdot a_g$.

Il valore del fattore di struttura q da utilizzare per ciascuna direzione della azione sismica, dipende dalla tipologia strutturale, dal suo grado di iperstaticità e dai criteri di progettazione adottati e prende in conto le non linearità di materiale. Esso può essere calcolato tramite la seguente espressione:

$$q = q_0 \times K_R = 1,0$$

		Ponte sullo Stretto di Messina PROGETTO DEFINITIVO		
RELAZIONE TECNICO DESCRITTIVA DELL'OPERA		<i>Codice documento</i> SS0741_F0.doc	<i>Rev</i> F0	<i>Data</i> 20/06/2011

5 FASI COSTRUTTIVE

Le fasi costruttive per l'esecuzione dell'opera in oggetto sono le seguenti:

- 1 Scavo di sbancamento;
- 2 Realizzazione pali di fondazione;
- 3 Costruzione della soletta di fondazione;
- 4 Realizzazione dei ritti verticali;
- 5 Costruzione della soletta superiore;
- 6 Realizzazione opere di finitura (pavimentazione, barriere di sicurezza, reti di protezione ecc.).

		Ponte sullo Stretto di Messina PROGETTO DEFINITIVO		
RELAZIONE TECNICO DESCRITTIVA DELL'OPERA		<i>Codice documento</i> SS0741_F0.doc	<i>Rev</i> F0	<i>Data</i> 20/06/2011

6 ELABORATI DI RIFERIMENTO

Nell'eseguire le verifiche relative all'opera di cui alla presente relazione si fa riferimento ai seguenti elaborati:

CG0700	P	CL	D	S	SC	C5	00	00	00	00	02	B
CG0700	P	RB	D	S	SC	C5	00	00	00	00	01	B
CG0700	P	RG	D	S	SC	C5	00	00	00	00	02	B
CG0700	P	SH	D	S	SC	C5	00	00	00	00	01	B
CG0700	P	P7	D	S	SC	C5	00	00	00	00	01	B
CG0700	P	PZ	D	S	SC	C5	00	00	00	00	01	B
CG0700	P	PZ	D	S	SC	C5	00	00	00	00	02	B
CG0700	P	BZ	D	S	SC	C5	00	00	00	00	01	B
CG0700	P	SA	D	S	SC	C5	00	00	00	00	01	B
CG0700	P	SZ	D	S	SC	C5	00	00	00	00	01	B